

مدل‌سازی تلفات انسانی در سناریویی وقوع زلزله شبانه منطقه یک

شهر اهواز بر پایه مدل کوبرن فازی^۱

مصطفی محمدی ده چشممه^۲- استادیار جغرافیا و برنامه‌ریزی شهری، دانشگاه شهید چمران اهواز، اهواز، ایران

رضا نظرپور ذکری- دانش آموخته کارشناسی ارشد جغرافیا و برنامه‌ریزی شهری، دانشگاه شهید چمران اهواز، اهواز، ایران

تاریخ دریافت: ۱۳۹۴/۱۱/۲۱ تاریخ تصویب: ۱۳۹۵/۹/۱۷

چکیده

در کنار بوم‌ساخت خطرپذیر ایران در مواجه با زلزله، گسترش شتابان شهرنشینی در دوران معاصر و پیدایش کلان‌شهرها به عنوان مکان‌های تجمع جمعیت انبوه، سرمایه و زیرساخت‌ها و مکان‌گزینی نامناسب آن‌ها در حریم نامن گسل‌ها، زمینه‌ساز شکل‌گیری کانون‌های شهری عموماً نایمین در برابر زلزله شده است. اهواز کلان‌شهری با موقعیت راهبردی در قلمرو جغرافیایی ایران (ژئو استراتژیک و ژئوکونومیک) نیز از قاعدة خطرپذیری در برابر زلزله مستثنی نیست. بر این اساس، پژوهش حاضر با تدوین سناریو زلزله احتمالی شبانه و شبیه‌سازی آن در این شهر، سعی در برآورد تلفات انسانی ناشی از وقوع زلزله در نواحی پنج‌گانه منطقه یک کلان‌شهر اهواز دارد. این پژوهش از لحاظ هدف کاربردی و از نظر ماهیت و روش توصیفی- تحلیلی است. همچنین روش آنالیز منتخب، فازی و مدل بررسی، مدل مرگ‌آوری کوبرن و همکاران است. یافته‌ها حاکی از آن است که از نظر تلفات انسانی ناحیه چهار با ۷۰۳۱ نفر بیشترین تلفات و ناحیه پنج با ۴۲۵ نفر کمترین تلفات را به خود اختصاص داده‌اند. همچنین بررسی نشان داده است که علاوه بر زمان وقوع زلزله، نوع کاربری غالب و تراکم جمعیت بیشترین نقش را در میزان تلفات انسانی نواحی منطقه یک شهر اهواز ایفا می‌کنند.

کلیدواژه‌ها: شهر اهواز، تلفات انسانی، زلزله، سناریو، روش‌های کوبرن و فازی.

1 Fussy Coburn

Email:m.mohammadi@scu.ac.ir

۰۹۱۳۲۱۵۸۵۱۱ ۲ نویسنده مسئول:

۱. مقدمه

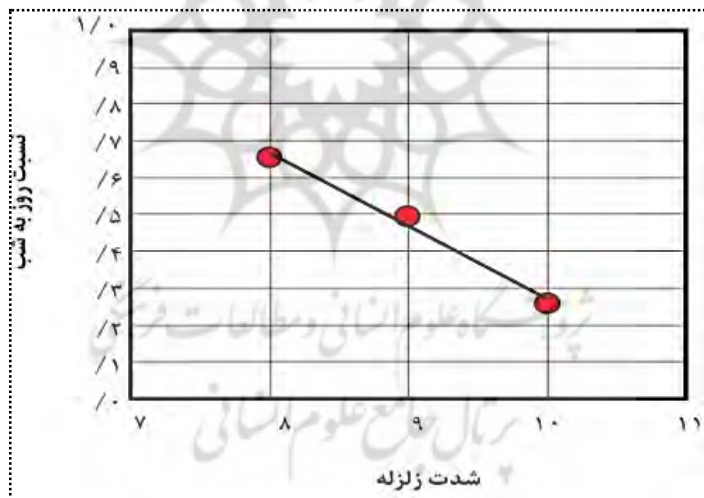
به طور معمول در بین سوانح طبیعی، زلزله با توجه به ضریب تکرار، گستره اثر، میزان و شدت خسارات و تلفات به عنوان فراگیرترین و مخرب‌ترین نوع مخاطرات طبیعی محسوب می‌شوند. به طور متوسط نزدیک به ۱۳۰/۰۰۰ نفر در جهان، در معرض خطرات ناشی از وقوع زمین‌لرزه دارند (سازمان ملل، ۲۰۰۸: ۲۶). این در حالی است که در قرن بیستم، ایران با ۴۷۲۷۶ نفر بالاترین میزان تلفات را دارا بوده است. بر پایه آمارهای موجود در ۲۵ سال گذشته بیش از ۶ درصد مرگومیرهای کشور ناشی از زلزله بوده است (ابراهیم‌زاده و کاشفی دوست، ۱۳۹۳: ۸۶). همچنین بر اساس گزارش سازمان ملل ایران به طور میانگین ۶ درصد از تلفات لرزاکی جهان را داراست (ابلقی، ۱۳۸۴: ۲). به گونه‌ای که آخرین زلزله بزرگ در ایران یعنی زلزله بم، بیش از ۳۰ هزار کشته، بیش از ۱۰ هزار زخمی و بیش از ۱۰۰ هزار نفر بی‌خانمان و تخریب بیش از ۸۰ درصد از شهر و چیزی بیش از ۸۰۰ میلیون دلار خسارت مالی را به بار آورد (احدىزاده روشتی و جلیل‌پور، ۱۳۹۲: ۲۴). از این منظر ایران جزو ده کشور نخست جهان در زمینه بلاخیزی قرار دارد.

آنچه بر پیچیدگی‌های ناشی از سطح و تنوع خطرپذیری شهر ایرانی افزوده، پویش جمعیتی شهرگرا و عمدتاً تمرکز طلبی است که زمینه‌ساز شکل‌گیری کانون‌های شهری عموماً نایمن در برابر مخاطرات و حوادث غیرمتربقه شده است (رهنمایی و محمدی ده‌چشممه، ۱۳۸۸: ۲۸۴). چراکه به اعتقاد صاحب‌نظران آنچه موجب افزایش تلفات ناشی از زلزله می‌شود، خود زلزله نیست، بلکه ساختمنهای غیر مقاوم یا کم مقاومتی است که بدون توجه به ملاحظات و اصول ایمنی، فنی و شهرسازانه ساخته می‌شوند. به عبارتی از آنجاکه میزان تلفات انسانی تابعی از آسیب‌پذیری فیزیکی اینه است (راهنما و طالعی، ۱۳۹۱: ۵۵) معمولاً عمدت‌ترین تلفات انسانی زلزله‌های به وقوع پیوسته ناشی از آسیب وارد به ساختمان‌ها و سازه‌ها بوده و طبق برآوردهای انجام شده در جهان بالای ۷۵ درصد از مرگومیرها و اگر حوادث ثانویه زلزله را هم به آن اضافه کنیم، بیش از ۹۰ درصد از تلفات انسانی به ریزش ساختمنها بر می‌گردد (لاتادا، ۲۰۰۸: ۲).

این در حالی است که صدمات و تلفات انسانی که دامنه‌ای از جراحات کوچک تا مرگومیر را در بر دارد، از مشخصه‌های مهم شدت زلزله محسوب می‌شوند (کوبن و همکاران، ۲۰۰۲: ۳۲). از این‌رو برای برآورد دقیق تلفات انسانی ابتدا باید ضریب آسیب‌پذیری ساختمنهای شهری محاسبه، سپس بر اساس خسارات فیزیکی، میزان تلفات انسانی را بر اساس مدل نسبت مرگ‌آوری^۱ برآورد نمود (شیباتا و همکاران، ۲۰۱۲: ۱۷۰۵). نسبت مرگ‌آوری به عنوان نسبتی از تعداد افراد کشته شده با تعداد ساکنین موجود در حین ریزش ساختمان تعریف می‌شود (فما، ۲۰۱۳: ۱۱۲). البته این نکته نیز قابل ذکر است که علاوه بر بعد کالبدی، مؤلفه زمان وقوع زلزله، نیز در برآورد تلفات

انسانی مؤثر است، به‌گونه‌ای که میزان تلفات انسانی وقوع زلزله در شب هنگام نسبت به روز به علت الگوی اشغال زمانی و امکان محدود واکنش سریع امداد و نجات بیشتر است (محمدی د چشم، ۱۳۹۲: ۱۵۶).

نکته قابل ذکر اینکه این حوزه تحقیقات به‌ویژه در تدوین سناریو شبیه‌سازی و آینده‌نگاری^۱ زلزله همچنان نو محسوب می‌شود. از مهم‌ترین نمونه سوابق تحقیقاتی انجام شده می‌توان به موارد زیر اشاره نمود: عزیزی و اکبری (۱۳۸۷)، با استفاده از مدل‌های AHP^۲ و GIS^۳ نشان داده‌اند که با افزایش مقدار متغیرهایی چون تراکم جمعیت، تراکم ساختمانی و فاصله از فضاهای باز میزان آسیب‌پذیری افزایش می‌یابد. قدیری و رکن‌الدین افتخاری (۱۳۹۲)، نشان داده‌اند که درجه آسیب‌پذیری مردم نه تنها به نزدیکی به منبع خطر و یا رفتارستی، بلکه به جایگاه اجتماعی و فضایی آن‌ها در جامعه نیز وابسته است. ملکی و مودت (۱۳۹۲)، با استفاده از مدل‌های TOPSIS^۴ و GIS^۵ به این نتیجه رسیده‌اند که در شهر یزد مناطق و محلات در برابر زلزله مقاومت و آسیب‌پذیری و میزان تلفات متفاوتی را دارا می‌باشند. احد نژاد (۱۳۸۹) برای تدوین سناریوی تلفات انسانی بر مؤلفه‌های زمانی، کالبدی، سازه‌ای اشاره نموده است. همچنین راشد و همکاران (۲۰۰۲)، مهمت (۲۰۰۴)، چن کینگ (۲۰۰۱)، فما (۲۰۱۳)، ای اس دی آر (۲۰۰۸)، ای بی‌ای (۲۰۱۴) و لانتاد و همکاران (۲۰۰۹) از دیگر تحقیقات این حوزه می‌باشند.



شکل ۱. نسبت تلفات زلزله در شدت‌های مختلف، روز و شب (اسفندیاری و همکاران، ۱۳۹۳: ۲۹)

بررسی پهنه‌بندی مناطق مستعد لرزه خیزی توسط پژوهشگاه زلزله شناسی نشان داده است که نقاط و پهنه‌های وسیعی از ایران مستعد آسیب‌پذیری ناشی از این مخاطره هستند. استان خوزستان به دلیل واقع شدن در کمربند

1 Simulating and Forecasting

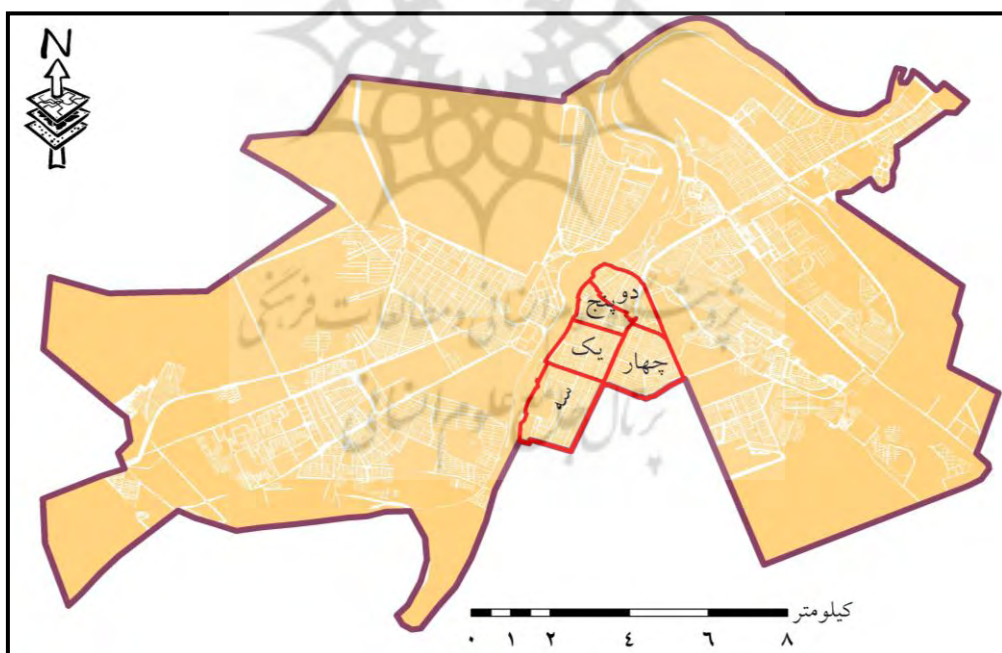
2 Analytical Hierarchy Process

3 Geographical Information System

زلزله‌خیز زاگرس، گسل‌های متعددی دارد و گسل اهواز از جمله این گسل‌های است (نظرپور، ۱۳۹۳: ۲۷). با این حال هدف تحقیق حاضر برآورد تلفات انسانی ناشی از وقوع زلزله احتمالی شبانه در منطقه یک کلان‌شهر اهواز است. سؤال این تحقیق این است که میزان تلفات انسانی در نواحی چهارگانه منطقه یک کلان‌شهر اهواز به عنوان پیامدی از زلزله شبانه در شهر اهواز چقدر است؟

۲. منطقه مورد مطالعه

اهواز مرکز استان خوزستان با مساحت ۲۲۲ کیلومترمربع، دارای ۷ منطقه شهری است که به وسیله رودخانه کارون به دو نیمه شرقی و غربی تقسیم می‌شود. جمعیت کلان‌شهر اهواز در اولین سرشماری عمومی نفوس و مسکن (۱۳۳۵) برابر ۱۲۰۰۹۸ نفر و در آخرین سرشماری یعنی (۱۳۹۰) برابر با ۱۱۳۰۰۳ نفر بوده است (مرکز آمار ایران، ۱۳۳۵ تا ۱۳۹۰). منطقه یک این کلان‌شهر با مساحت تقریبی ۱۰۰۰ هکتار، کم وسعت ترین منطقه شهری اهواز است (مهندسين مشاور معماري و شهرسازی عرصه، ۱۳۹۱: ۱). اين منطقه داراي ۴ ناحيه شهری است و جمعیت آن در آخرین دوره سرشماری برابر با ۱۲۵۰۲۵ نفر بوده است (معاونت برنامه‌ریزی و توسعه شهرداری اهواز، ۱۳۹۱: ۲۸).



شکل ۲. موقعیت نواحی منطقه یک کلان‌شهر اهواز

۱ کلان شهر اهواز تا سال ۱۳۹۱ دارای ۸ منطقه شهری بوده اما در تاریخ ۹۱/۱۱/۴ منطقه پنج (کوت عبدالله) از آن جدا شده و مرکز شهرستان جدید کارون شده است.

پرداختن به مقولهٔ آینده‌نگاری و سناریونویسی مخاطرهٔ زلزله در این شهر از آن جهت اهمیت دارد که اهواز از ابعاد مختلف به عنوان یک شهر راهبردی در ایران محسوب می‌شود. این شهر از ابعاد جغرافیای سیاسی- نظامی^۱، جغرافیای اقتصادی^۲، جغرافیای فرهنگی^۳، جغرافیای آب و کشاورزی^۴ دارای موقعیت منحصر به فردی می‌باشد که خطرپذیری آن را در برابر مخاطرات نه تنها در بعد محلی- منطقه‌ای بلکه در مقیاس ملی قابل توجه ساخته است.

۳. مواد و روش‌ها

این تحقیق کاربردی و از نظر روش شامل دو بخش توصیفی - تحلیلی بوده که در بخش توصیفی با استفاده از مطالعات کتابخانه‌ای و تحقیقات انجام شده، مبانی نظری و معیارهای مؤثر در مدل‌سازی تلفات انسانی جمع‌آوری شد و در بخش تحلیلی سعی شده است تا با استفاده از روش تحلیل فازی و مدل نسبت مرگ‌آوری کوبرن و همکاران^۵ میزان تلفات انسانی ناشی از زلزله در زمان شب برآورد گردد. با این حال معرفی سناریوی پیشنهادی در ارزیابی آسیب‌پذیری و برآورد تلفات انسانی اولین گام در هر گستره مطالعاتی است. سناریوی فرضی در این پژوهش بر سه متغیر اصلی مؤثر بر میزان تلفات تأکید دارد:

الف) زمان وقوع زلزله در شب است.

ب) محل وقوع زلزله منطقهٔ یک کلان‌شهر اهواز است.

ج) ساختمان‌ها از نظر کالبدی در دو گروه ۱) فلزی و بتُنی و ۲) با مصالح بنایی تعریف شده‌اند. نکته قابل توجه اینکه انعطاف‌پذیری به منظور افزایش تعداد شاخص‌های منتخب و قابلیت ترکیب با مدل‌های چند معیاری تصمیم‌گیری از مهم‌ترین مزایای این مدل محسوب می‌شوند. بر این اساس بررسی سوابق مطالعاتی با این مدل، بهره‌گیری از مؤلفه‌های مختلف را نشان داده است که به عنوان سابقه‌ای برای پژوهش پیش روست.

مدل منطق فازی

مدل منطق فازی یا منطق تار و نامعین؛ این نظریه برای اولین بار توسط دانشمند ایرانی پروفسور عسکر لطفی زاده، استاد دانشگاه برکلی آمریکا برای اقدام در شرایط عدم اطمینان ارائه شد. این نظریه قادر است بسیاری از مفاهیم و متغیرها و سیستم‌هایی را که غیردقیق و مبهم هستند، صورت‌بندی ریاضی بخشیده و زمینه را برای استدلال، کتربل و تصمیم‌گیری در شرایط عدم اطمینان فراهم آورد. درجه عضویت پذیری، اجتماع و اشتراک، متمم، ضرب، جمع و

۱ political-military Geography

۲ Economic geography, geography

۳ Cultural Geography

۴ Agriculture Geography and Hydro politic

۵ Coburn and et al

گاما توان‌های اساسی این مدل تلفیق محسوب می‌شوند. برای ایجاد لایه‌ها و مجموعه‌های فازی می‌توان توابع ریاضی چون آستانه خطی، سیگموئیدال، S‌شکل، هایپربولیک و غیره را به کار برد. به عنوان مثال اگر برای مکان‌یابی تأسیسات شهری چون نیروگاه، چند متغیر مانند نزدیکی به راه‌های ارتباطی و یا گسل مورد بررسی قرار گیرد، تعیین درجه عضویت به شرح زیر خواهد بود:

$$F(x) = \begin{cases} \text{if } x < 1000 & \rightarrow \text{value}(1) \\ \text{if } 1000 < x < 4000 & \rightarrow \text{value} = \frac{X_{MAX} - X}{\Delta x} \\ \text{if } x > 4000 & \rightarrow \text{value}(0) \end{cases}$$

يعنى مقدار فازی نقطه ۱۰۰۰ متری از راه‌های ارتباطی برابر با (۱)، مقدار فازی نقطه ۴۰۰۰ متری از راه برابر (۰) و مقدار فازی نقطه ۱۶۰۰ متری با استفاده از تابع آستانه خطی برابر ۰،۴۶ خواهد بود. برای تمام لایه‌های دیگر همین عملیات را پیاده‌سازی و فضای منطقه ارزش‌گذاری می‌گردد. شاید بتوان بزرگ‌ترین ضعف این مدل را وزنده‌ی غیراستاندارد که مبتنی بر آراء و عقاید متفاوتی است، نامید. با این وجود از کاربردی‌ترین مدل‌های تلفیق در علوم مختلف از جمله برنامه‌ریزی شهری است (فرهودی و همکاران، ۱۳۸۴: ۱۷ و ۱۸).

در تحقیق حاضر به دلیل اثر کاهشی-افزایشی لایه‌ها از تابع گاما استفاده شده است، زیرا این تابع، زمانی استفاده می‌شود که تأثیرات کاهشی و افزایشی در تعامل معیارها وجود داشته باشد. این تابع حالت کلی تابع جمع (Fuzzy Sum) و ضرب (Fuzzy Product) فازی است (چیتسازان و همکاران، ۱۳۹۱: ۴۸). برتری عملگر فازی گاما (Fuzzy Gamma) نسبت به دیگر عملگرهای فازی به این خاطر است که برای تعدیل حساسیت خیلی بالای عملگر فازی ضرب (Fuzzy Product) و حساسیت خیلی کم عملگر فازی جمع (Fuzzy Sum)، عملگر دیگری به نام عملگر فازی گاما معرفی شده که حد فاصل ضرب و جمع جبری فازی است. اگر در فرمول عملگر فازی گاما، لاندا برای یک باشد، خروجی، همان نقشه عملگر فازی جمع (Fuzzy Sum) خواهد بود و اگر لاندا برابر صفر باشد، نقشه خروجی همان نقشه عملگر فازی ضرب (Fuzzy Product) خواهد بود (کرم و یعقوب‌نژاد اصل، ۱۳۹۲: ۲۴۰)

مدل کویرن یا مدل برآورده تلفات انسانی

برای برآورده تلفات انسانی از نظریه نسبت مرگ‌آوری یا نظریه کویرن و همکاران که در سال ۱۹۹۲ ارائه گردید (اسفندياري و همکاران، ۱۳۹۳: ۲۶)، استفاده شده است. در این مدل با استفاده از لایه جمعیتی منطقه، استانداردهای موجود در جدول (۱) و همچنین اطلاعات به دست آمده از تلفیق نقشه‌ها یعنی تعداد ساختمان‌های تخریب شده، میزان تلفات انسانی با کمک فرمول زیر استخراج گردید.

(معادله ۱)

$$K_s = C [M_1 \times M_2 \times M_3 \times (M_4 + M_5(1 - M_4))]$$

K_s : تعداد آسیب‌دیدگان در زلزله شامل مردگان و مجروهان

C: تعداد ساختمان‌های تخریب شده

M1: تعداد افراد ساکن در هر واحد ساختمانی

M2: درصد ساکنین مستقر در واحدهای ساختمانی در هین وقوع زلزله که بسته به زمان وقوع زلزله و نوع کاربری ساختمان متغیر است. به عنوان مثال اگر ارزیابی تلفات برای شب باشد، به‌طور متوسط این رقم معادل ۸۰ درصد در نظر گرفته می‌شود.

M3: درصد تعداد ساکنین گرفتار شده در زیر آوار حاصل از ریزش ساختمان که این مورد می‌تواند بسته به نوع سازه متغیر باشد که مقادیر استاندارد آن در جدول (۱) آورده شده است.

M4: درصد مرگ‌ومیر افراد گرفتار شده در زیر آوار (نسبت تلفات بلافصله پس از فرو ریختن ساختمان‌ها) که این مورد به نوع سازه ساختمان ارتباط دارد و مقادیر آن برای ساختمان‌های شهری بر اساس نوع اسکلت در جدول (۱) آورده شده است.

M5: درصد مرگ‌ومیر بعد از ریزش می‌باشد (نسبت مجروهانی که پس از فرو ریختن و قبل از امدادرسانی می‌میرند) که به‌طور مستقیم به مدیریت بحران بعد از زلزله ارتباط پیدا می‌کند. به عنوان مثال اگر امدادرسانی و آواربرداری بلافصله بعد از وقوع زلزله صورت بگیرد، مقدار آن خیلی کم و اگر امدادرسانی و آواربرداری به‌کندي صورت گیرد، مقدار زیاد خواهد شد (احدیث روشی و همکاران، ۱۳۸۹: ۱۸۸).

جدول ۱. مقادیر استاندارد و متوسط هر یک از اجزای به کار رفته در معادله شماره ۱

M5 (درصد)	M4 (تعیین نوع مجروهیت به درصد)					M3 (درصد)	M2 (درصد)	نوع ساختمان
	فوتی	باعرضیت و خیم	نیاز به بستری شدن	جزئی				
۶۰	۱۵	۲۵	۳۰	۳۰		۶۰	۸۰	مصالح بنایی
۹۰	۴۰	۱۰	۴۰	۱۰		۵۰	۸۰	اسکلت فلزی و بتُنی

۴. بحث و نتایج

۱-۴. مدل‌سازی تلفات انسانی ناشی از زلزله

تحلیل میزان آسیب‌پذیری ساختمان‌های شهری. مرحله اول: قالب لایه‌های معیارهای مؤثر در تحلیل مورد نظر تصحیح و تغییر داده شده و بر اساس ویژگی مورد نظر رستر شده‌اند. مرحله دوم: استانداردسازی نقشه‌های معیار؛ در

این مرحله نقشه‌های مؤثر در مدل‌سازی تلفات انسانی ناشی از زلزله که در مرحله قبل تولید شده را به دلیل عدم همگن بودن واحدهای آن‌ها، جهت استانداردسازی و همگن کردن و همچنین افزایش انعطاف‌پذیری آن‌ها، از ابزار (FuzzyMembership) در محیط ArcGIS استفاده شده است. استانداردسازی فازی در دامنه عددی بین (۰ تا ۱) می‌باشد. که در این تحقیق به این معنا است که عدد (۱) بیشترین آسیب‌پذیری مناطق مسکونی و (۰) دارای کمتر آسیب‌پذیری مناطق مسکونی می‌باشد. در جدول (۲)، لایه‌ها و نوع توابع به کاررفته در (FuzzyMembership) برای استانداردسازی فازی هر معیار بیان شده است.

نقشه‌های استاندارد شده معیارها: در ادامه ۸ معیار مؤثر در تحلیل میزان آسیب‌پذیری مناطق مسکونی را پس از تأثیر توابع فازی در هر کدام از معیارها، آن‌ها را استاندارد کرده، به گونه‌ای که میزان آسیب‌پذیری در تمام نقشه‌ها به صورت بازه (۰ تا ۱) نشان داده شده است. در شکل (۳) لایه‌های استاندارد شده معیارهای مؤثر در مدل‌سازی تلفات انسانی ناشی از زلزله نشان داده شده است.

جدول ۲. توابع فازی استانداردسازی معیارهای^۱ مؤثر در مدل‌سازی تلفات انسانی ناشی از زلزله

شاخص	نوع تابع	نوع تابع فازی ^۲	شكل تابع فازی ^۳	شرایط افزایش آسیب‌پذیری شاخص‌ها
تراکم ساخت	Linear ^۴	افراشی	افراشی	افراش این شاخص باعث افزایش آسیب‌پذیری می‌شود.
تعداد طبقات	linear	افراشی	افراشی	افراش تعداد طبقات باعث افزایش آسیب‌پذیری می‌شود.
تعداد واحد	linear	افراشی	افراشی	افراش این شاخص باعث افزایش آسیب‌پذیری می‌شود.
سطح اشغال	linear	افراشی	افراشی	افراش سطح اشغال باعث افزایش آسیب‌پذیری می‌شود.
عمر بنا	linear	افراشی	افراشی	افراش عمر ساختمان باعث افزایش آسیب‌پذیری می‌شود.
زیربنا	linear	کاهشی	کاهشی	کاهش میزان این شاخص باعث افزایش آسیب‌پذیری می‌شود.
نوع اسکلت	linear	کاهشی	-	اسکلت با مقاومت کم باعث افزایش آسیب‌پذیری می‌شود.
نوع کاربری ^۵	-	-	-	نوع کاربری در افزایش یا کاهش آسیب‌پذیری مؤثر می‌باشد. ^۶

۱ انتخاب معیار با بررسی سوابق مطالعاتی (احد نژاد و همکاران، ۱۳۹۲) و (مشکینی و همکاران ۱۳۹۳) و Coburn, 2002 و البته تطبیق اطلاعات به قلمرو مطالعه و همچنین دسترسی به بانک داده‌های مکانی صورت گرفته است.

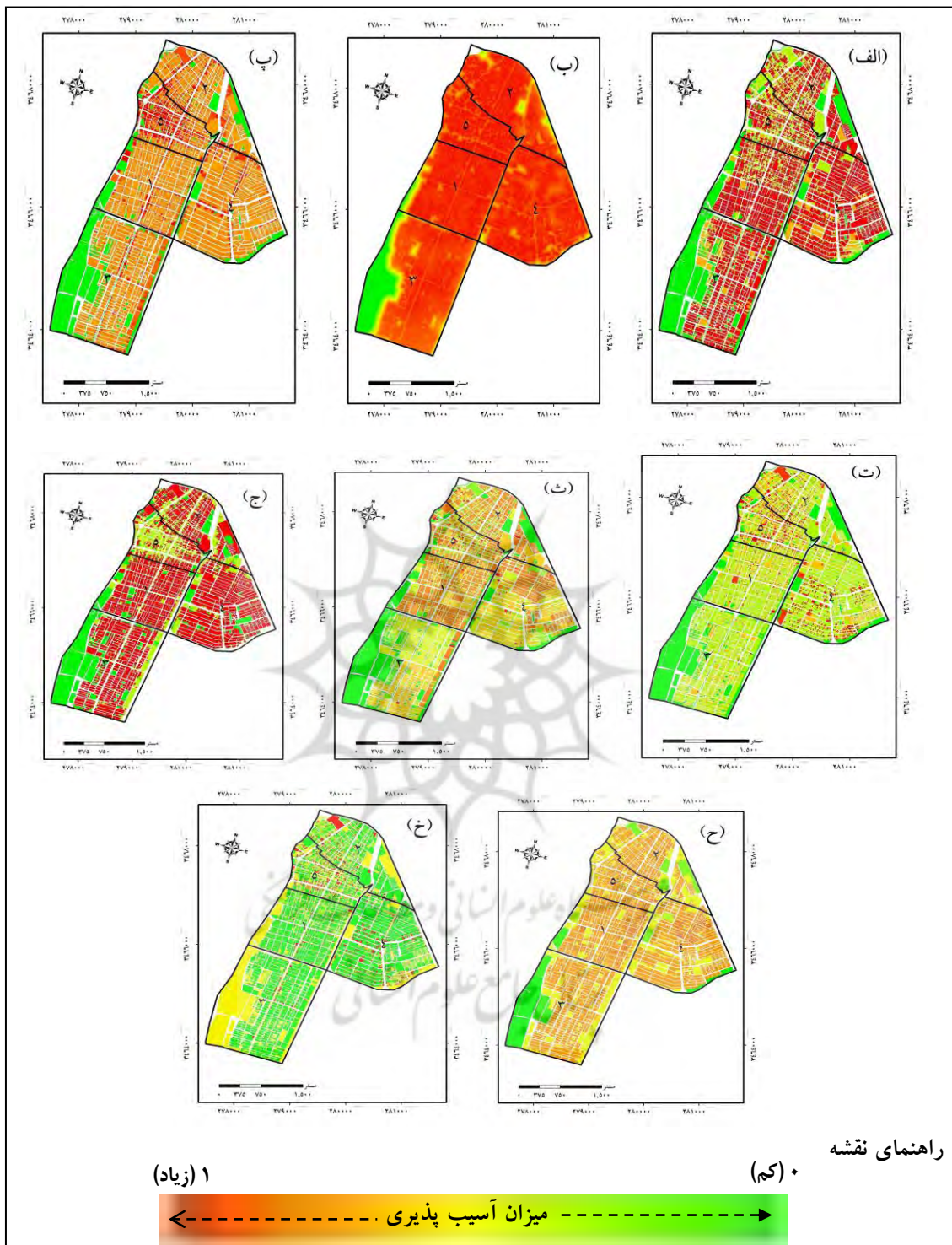
۲ شکل تابع فازی، افزایش و کاهشی دو حالت از تابع Linear (Fuzzy Membership) در (Arc gis) می‌باشد که در اینجا به این معنی می‌باشد.

۳ که در حالت افزایش میزان یک شاخص یا فاصله از آن، میزان آسیب‌پذیری افزایش و با حالت کاهش، میزان آسیب‌پذیری کاهش می‌یابد.

۴ این لایه افزایش امتیاز آن به صورت خطی آسیب‌پذیری را کاهش یا افزایش می‌دهد.

۵ این لایه ابتدا کدینگ (کدبندی) شده سپس در (Fuzzy Membership) بر اساس کدها استاندارد شده است.

۶ برای مثال در میان کاربری‌ها، بیشترین تلفات انسانی مربوط به کاربری مسکونی می‌باشد.



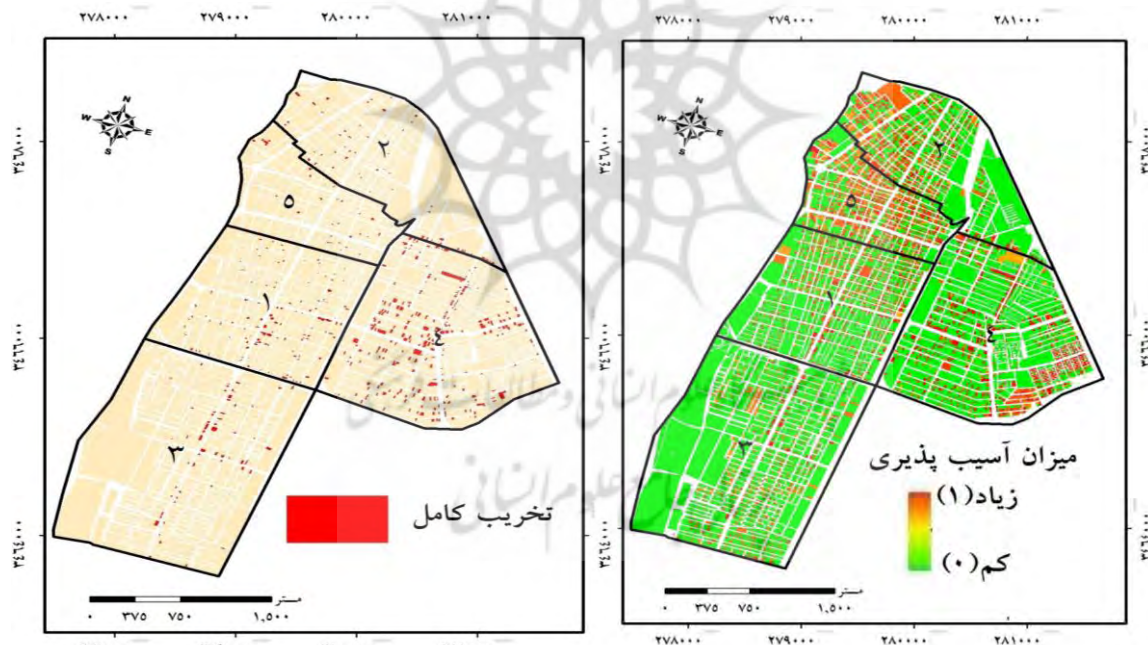
شکل ۳. الف: نوع اسکلت ب: تراکم ساختمانی پ: سطح اشغال، ت: تعداد طبقات ث: عمر بنا ج: کاربری اراضی ح: مساحت زیربنای خ: تعداد واحد

مرحله سوم: همپوشانی کردن لایه‌ها^۱، در این مرحله نقشه‌های استاندارد شده در مرحله قبل را با استفاده از عملگر فازی گاما ($0,9$) در Fuzzy Overlay ترکیب می‌کنیم که نقشه خروجی آن نشان‌دهنده میزان آسیب‌پذیری ساختمان‌های شهری در برابر وقوع زلزله در شب می‌باشد (شکل ۴).

مرحله چهارم: طبقه‌بندی ساختمان‌های نواحی پنج گانه منطقه یک و استخراج ساختمان‌های با وضعیت تخریب کامل (شکل ۵).

جدول ۴. توزیع تعداد ساختمان‌های مسکونی تخریب شده نواحی منطقه یک شهر اهواز

نام ناحیه	ناحیه ۱	ناحیه ۲	ناحیه ۳	ناحیه ۴	ناحیه ۵
تعداد ساختمان‌های با اسکلت فلزی و بتون	۵۱	۲۶	۲۸	۹۰	۱۴
تعداد ساختمان‌های با مصالح بنایی	۴۹	۲۰	۲۶	۴۲	۱۰
مجموع	۱۰۰	۴۶	۵۴	۱۳۲	۲۴
درصد ساختمان تخریبی نواحی	% ۲	% ۲	% ۱	% ۲	% ۲



شکل ۴. میزان آسیب‌پذیری ساختمان‌های نواحی پنج گانه شکل ۵. ساختمان‌های تخریبی نواحی پنج گانه

جدول ۳. آسیب‌پذیری ساختمان‌های مسکونی نواحی منطقهٔ یک شهر اهواز در طیف‌های مختلف

ناحیه	تعداد کل ساختمان‌های مسکونی ناحیه	آسیب جزئی و قابل اغماض	آسیب کم	آسیب متوسط	آسیب سنگین	تخرب کامل
یک	۶۶۳۶	۵۲۶۴	۴۵۱	۰	۸۲۱	۱۰۰
دو	۲۸۱۶	۲۰۲۱	۳۴۲	۱	۴۰۶	۴۶
سه	۴۹۱۹	۳۹۴۴	۳۴۲	۰	۵۳۸	۵۴
چهار	۶۲۶۳	۵۳۴۳	۳۵۳	۲	۵۳۸	۱۳۲
پنج	۱۳۰۲	۷۴۶	۲۳۲	۱	۲۹۹	۲۴

۴-۲. برآورد تلفات انسانی

در این مقاله برای تخمین مقدار تلفات انسانی ابتدا نقشه درجه آسیب‌پذیری ساختمان‌های نواحی پنج‌گانه منطقهٔ یک کلان‌شهر اهواز با ترکیب ۸ معیار مؤثر در سنجش آسیب‌پذیری ساختمان در برابر زلزله تهیه شد و سپس ساختمان‌های شهری در طیف آسیب‌پذیری جزئی تا تخرب کامل طبقه‌بندی شدند (جدول ۳ و شکل ۴). از این‌رو ساختمان‌های با وضعیت تخرب کامل را محاسبه کرد (جدول ۴ و شکل ۵) و مبنای برآورد تلفات انسانی در نظر گرفته شد. مقدار (C) در معادله برآورد تلفات انسانی (معادله ۱) از این روش به دست آورده شد. در ادامه برای برآورد تعداد تلفات انسانی لایه‌ی ساختمان‌های با وضعیت تخرب کامل در دو دسته ساختمان‌های با اسکلت فلزی و بتُنی و ساختمان‌های با مصالح بنایی^۱ تقسیم شده و در برنامه سیستم اطلاعات جغرافیایی بر روی بلوک‌های آماری سال ۱۳۹۰ قرار داده شده‌اند و تعداد تلفات انسانی بر اساس جدول (۱)، در این برنامه محاسبه گردیدند. این نکته نیز قابل ذکر است از آنجاکه ممکن است در هر بلوک آماری چندین ساختمان وجود داشته باشد در این تحقیق از میانگین آمار جمعیتی در هر بلوک استفاده شده است. چنانچه بخواهیم آمار دقیق‌تری از تلفات داشته باشیم بهتر است تا آمار جمعیتی را به تفکیک قطعه داشته باشیم که در این تحقیق به چنین آماری دسترسی وجود نداشته است.

^۱ ساختمان فاقد اسکلت و سایر ساختمان‌هایی که در گروه ساختمان‌های با اسکلت فلزی و بتُنی قرار نمی‌گیرند در گروهی با عنوان ساختمان‌های با مصالح بنایی قرار داده شده‌اند.

جدول ۵. برآورد تلفات انسانی ساختمان‌های مسکونی با اسکلت فلزی و بتُنی نواحی منطقه یک شهر اهواز

میزان تلفات انسانی	مرگ و میر بعد از ریزش (ب)	مرگ و میر گرفتار شده در زیر آوار (الف)	مجروحان و خیم	مجروحان نیاز به بستری	مجروحان سبک	تعداد افراد گرفتار شده در زیر آوار	جمعیت ۱۳۹۰	نام ناحیه
۱۴۶۴	۵۴۹	۲۴۴	۶۱	۲۴۴	۶۱	۳۰۵	۳۰۰۳۶	ناحیه ۱
۷۰۱	۲۶۳	۱۱۷	۲۹	۱۱۷	۲۹	۱۴۶	۱۵۸۵۲	ناحیه ۲
۸۱۵	۳۰۵	۱۳۶	۳۴	۱۳۶	۳۴	۱۷۰	۳۳۷۸۴	ناحیه ۳
۵۷۱۴	۲۱۴۳	۹۰۲	۲۳۸	۹۰۲	۲۳۸	۱۱۹۱	۳۹۵۱۶	ناحیه ۴
۲۴۱	۹۱	۴۰	۱۰	۴۰	۱۰	۵۰	۵۸۳۷	ناحیه ۵
۸۹۳۵	۳۳۵۱	۱۴۸۹	۳۷۲	۱۴۸۹	۳۷۲	۱۸۶۲	۱۲۵۰۲۵	جمع

جدول ۶. برآورد تلفات انسانی ساختمان‌های مسکونی با مصالح بنایی نواحی منطقه یک شهر اهواز

میزان تلفات انسانی	مرگ و میر بعد از ریزش (ب)	مرگ و میر گرفتار شده در زیر آوار (الف)	مجروحان و خیم	مجروحان نیاز به بستری	مجروحان سبک	تعداد افراد گرفتار شده در زیر آوار	جمعیت ۱۳۹۰	نام ناحیه
۱۳۲۸	۳۶۲	۹۱	۱۵۱	۱۸۱	۱۸۱	۳۶۲	۳۰۰۳۶	ناحیه ۱
۴۳۰	۱۱۷	۲۹	۴۹	۵۹	۵۹	۱۱۷	۱۵۸۵۲	ناحیه ۲
۹۲۹	۲۵۳	۶۳	۱۰۶	۱۲۷	۱۲۷	۲۵۳	۳۳۷۸۴	ناحیه ۳
۱۵۹۹	۴۲۶	۱۰۹	۱۸۲	۲۱۸	۲۱۸	۴۲۶	۳۹۵۱۶	ناحیه ۴
۱۹۹	۵۴	۱۴	۲۳	۲۷	۲۷	۵۴	۵۸۳۷	ناحیه ۵
۴۴۸۴	۱۲۲۳	۳۰۶	۵۱۰	۶۱۱	۶۱۱	۱۲۲۳	۱۲۵۰۲۵	جمع

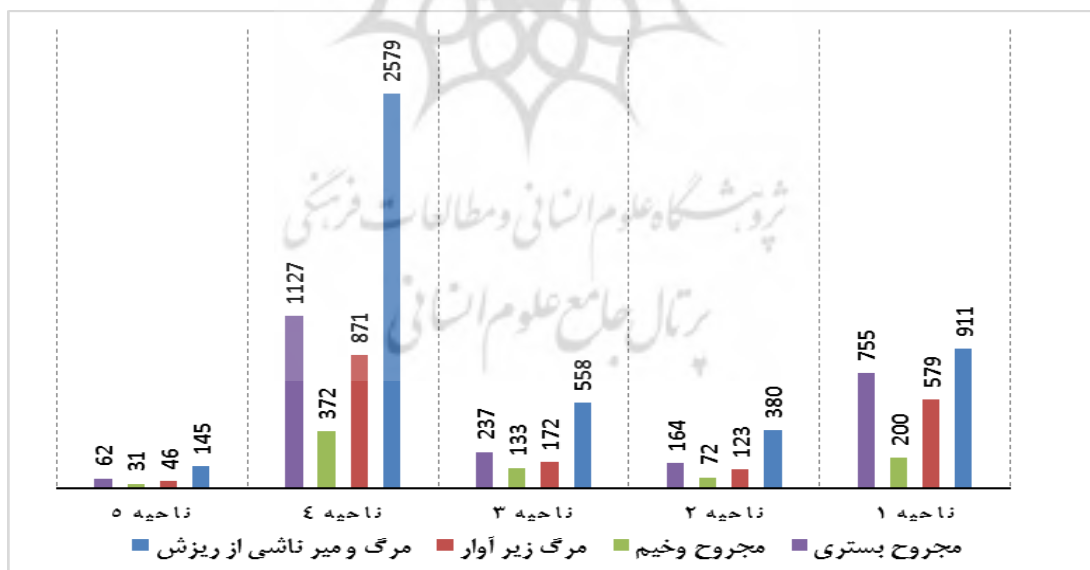
برای محاسبه میزان تلفات انسانی از ۸ معیار استفاده گردید که مدل به کار گرفته شده برای تحلیل آن‌ها مدل منطق فازی بوده است. در مرحله اول؛ میزان آسیب‌پذیری مناطق مسکونی (جدول ۳) و در مرحله دوم؛ میزان تلفات انسانی بر اساس نوع سازه ساختمان‌های شهری برآورد شده (جدول ۵ و ۶) و در ادامه مجموع تلفات انسانی نواحی پنج گانه منطقه یک کلان‌شهر اهواز برآورد شده است (جدول ۷). در جدول (۸)، درصد تلفات انسانی و نسبت تلفات به جمعیت هر ناحیه نیز محاسبه گردید و در نهایت نواحی از نظر میزان تلفات و آسیب‌های انسانی نیز رتبه‌بندی گردیدند.

۱ تفاوت مرگ و میر گرفتار شده در زیر آوار (الف) و مرگ و میر بعد از ریزش (ب) در این است که مقدار مرگ و میر (الف) نسبت تلفات بالفاصله پس از فرو ریختن ساختمان‌ها می‌باشد و میزان آن با توجه به نوع سازه ساختمان تغییر می‌کند برای مثال میزان آن برای ساختمان‌های فلزی و بتُنی (۴۰ درصد) و برای ساختمان‌های با مصالح بنایی (۱۵ درصد) می‌باشد، اما مقدار مرگ و میر (ب) با توجه به زمان امداد رسانی تغییر می‌کند برای مثال افزایش زمان امداد رسانی باعث افزایش مرگ و میر می‌شود یا به عبارت دیگر نسبت مجروحانی که پس از فرو ریختن و قبل از امداد رسانی می‌میرند.

جدول ۷. برآورد مجموع تلفات انسانی ساختمان‌های مسکونی نواحی منطقهٔ یک شهر اهواز

نام ناحیه	جمعیت ۱۳۹۰	تعداد افراد گرفتار شده در زیر آوار	مجروحان سبک	مجروحان بسته	مجروحان خیم و زیر آوار (الف)	مرگ و میر بعد از ریزش (ب)	میزان تلفات انسانی
ناحیه ۱	۳۰۰۳۶	۶۶۷	۲۴۲	۷۵۵	۲۰۰	۵۷۹	۹۱
ناحیه ۲	۱۵۸۵۲	۲۶۳	۸۸	۱۶۴	۷۲	۱۲۳	۳۸۰
ناحیه ۳	۳۳۷۸۴	۴۲۳	۱۶۱	۲۳۷	۱۳۳	۱۷۲	۵۵۸
ناحیه ۴	۳۹۵۱۶	۱۶۲۶	۴۵۶	۱۱۲۷	۳۷۲	۸۷۱	۲۵۷۹
ناحیه ۵	۵۸۳۷	۱۰۴	۳۷	۶۲	۳۱	۴۶	۱۴۵
جمع	۱۲۵۰۲۵	۳۰۸۳	۹۸۴	۲۳۴۵	۸۰۸	۱۷۹۱	۴۵۷۳

بر اساس یافته‌های تحقیق ناحیه ۴ به عنوان آسیب پذیر ترین ناحیه در مواجه با زلزله احتمالی محسوب می‌شود. در این ناحیه میزان مرگ و میر احتمالی ناشی از ریزش اینیه و ملحقات سازه‌ای معادل ۲۵۷۹ نفر پیش‌بینی شده است. بافت قدیمی، ناپایداری مصالح و تراکم نسبتاً بالای ساختمانی از مهم‌ترین دلایل این الگوی آسیب پذیری محسوب می‌شوند. در این ارتباط ناحیه ۵ با تراکم پایین و بافت نوساز کمترین میزان تلفات را نشان داده است.



شکل ۵. تلفات انسانی ساختمان‌های مسکونی نواحی منطقهٔ یک شهر اهواز

جدول ۸. رتبه‌بندی نواحی پنج گانه منطقه یک شهر اهواز بر اساس تلفات انسانی

نام	میزان تلفات	درصد	رتبه تلفات	تلفات / جمعیت	رتبه نسبت تلفات	اولویت ایمن سازی
ناحیه ۱	۳۳۵۴	۲۵	۲	۱۱	۲	دوم
ناحیه ۲	۱۰۹۰	۸	۴	۷	۳	چهارم
ناحیه ۳	۱۶۸۴	۱۲	۳	۵	۵	سه
ناحیه ۴	۷۰۳۱	۵۲	۱	۱۸	۱	یک
ناحیه ۵	۴۲۵	۳	۵	۷	۴	پنج
جمع	۱۳۵۸۴	۱۰۰	-	-	-	-

بر اساس یافته‌های مستخرج از تحلیل مکانی و مدلسازی آماری بر اساس مدل کوبیرن، اولویت‌های مدیریت جامع بحران زلزله برای کاهش میزان تلفات در زلزله احتمالی منطقه یک شهراری اهواز به دست آمده است. بر این اساس ناحیه ۴ در اولویت اول ایمن سازی ابینه قرار دارد و پس از آن به ترتیب ناحیه یک، دو، پنج و سه در اولویت‌های ایمن سازی قرار دارند.

۵. نتیجه‌گیری

امروزه با توجه به روند رو به رشد جمعیت و تراکم جمعیتی در مناطق شهری به‌ویژه در مناطق پرجمعیت و مستعد از نظر لرزه‌خیزی، لزوم نگرش همه‌جانبه و فراگیر به حوادث طبیعی از جمله زلزله و فجایع ناشی از آن، بیش از پیش ضروری است. جهت مقابله اصولی با این پدیده و کاستن از میزان آسیب‌های آن نیاز به انجام سلسله مطالعاتی در خصوص آسیب‌پذیری کالبدی و تخمین میزان خسارت مالی و جانی به وجود آمده در اثر زلزله‌های احتمالی می‌باشد تا با روشن شدن وضعیت آسیب‌پذیری‌ها، به بررسی عوامل آسیب‌زا و شناخت نقاط ضعفی که باعث تشدید آسیب‌های مالی و جانی است، پرداخته شود (اسفندياري و همكاران، ۱۳۹۳: ۱۷). از آنجایی که ارزیابی تمامی عوامل مؤثر در آسیب‌پذیری شهر به طور یکجا امکان‌پذیر نمی‌باشد، از این‌رو در این مقاله جهت دست یافتن به این هدف با استفاده از ۸ معیار و با کمک مدل‌های فازی و کوبیرن به بررسی میزان تلفات انسانی ناشی از وقوع زلزله در هنگام شب در نواحی منطقه یک شهر اهواز پرداخته شده است. طبق یافته‌های تحقیق در قسمت مدل فازی از نظر تعداد ساختمان‌های تخریبی ناحیه چهار به علت اینکه اکثر این ناحیه مسکونی و دارای بافت فشرده و متراکم می‌باشد و بخشی از آن به نام کوی یوسفی دارای بافت فرسوده و قدیمی است با ۱۳۲ ساختمان بیشترین میزان و ناحیه پنج به علت اینکه اکثر بافت این ناحیه تجاری و اداری می‌باشد با ۲۴ ساختمان کمترین تعداد ساختمان‌های تخریبی را به خود اختصاص داده‌اند. هرچند که به جزء ناحیه سه در سایر نواحی نسبت ساختمان‌های تخریب شده به کل ساختمان‌های هر ناحیه حدود ۲ درصد می‌باشد. در قسمت مدل برآورد تلفات انسانی بیشترین تلفات مربوط به ناحیه چهار می‌شود که ۳۱ درصد جمعیت منطقه یک را در خود جای داده است. با این حال ۵۱ درصد کل

تلفات انسانی منطقه یک را با میزان ۷۰۳۱ نفر به خود اختصاص داده است که تلفات زیاد این ناحیه را می‌توان در بافت فرسوده بخشی از آن، تراکم جمعیتی زیاد محلات آزادشهر و کوی یوسفی و همچنین در نوع کاربری که اغلب بافت آن را ساختمان مسکونی به خود اختصاص داده، دانست. کمترین میزان تلفات انسانی نیز مربوط به ناحیه پنج است که ۵ درصد از جمعیت منطقه را به خود اختصاص داده اما ۳ درصد کل تلفات انسانی منطقه یک را با میزان ۴۲۵ نفر را شامل شده است که تلفات کم آن را می‌توان در تراکم پایین جمعیتی این ناحیه به‌ویژه محله بازار عبدالحمید با تراکم جمعیتی ۱۸ نفر در هکتار، دانست زیرا این ناحیه از شهر در موقع شب خلوت بوده و نوع کاربری غالب آن، تجاری و اداری می‌باشد. از نظر نسبت تلفات به جمعیت هر ناحیه، آسیب‌پذیری آن‌ها به این ترتیب بوده است که: نواحی چهار (۱۸ درصد)، یک (۱۱ درصد)، دو (۷ درصد)، پنج (۶ درصد) و در نهایت ناحیه سه (۵ درصد) دچار تلفات انسانی در جمعیت خود شده‌اند. بنابراین در رتبه‌بندی نهایی نواحی پنج گانه منطقه شهر اهواز بر اساس میزان جمعیت، میزان تلفات انسانی و نسبت جمعیت به تلفات انسانی به ترتیب از آسیب‌پذیرترین به کم آسیب-پذیرترین شامل نواحی چهار، یک، سه، دو و پنج می‌باشند.

در کل می‌توان گفت یافته‌ها حاکی از آن است که عواملی از جمله ویژگی کالبدی ابنيه، میزان تراکم جمعیتی، نوع کاربری اراضی و به‌ویژه زمان وقوع زلزله در میزان تلفات انسانی زلزله مؤثر هستند؛ به‌گونه‌ای که هرچند ناحیه پنج دارای بافت فرسوده و قدیمی است، اما به خاطر دو پارامتر زمان وقوع زلزله (شب‌هنگام این ناحیه کمترین میزان جمعیت را دارد) و نوع کاربری غالب (تجاری و اداری) کمترین میزان تلفات انسانی را در برگرفته است و در مقابل ناحیه چهار با وجود اینکه بخش‌های زیادی از این ناحیه دارای ویژگی کالبدی مناسبی می‌باشد اما به خاطر پارامترهایی چون زمان وقوع زلزله (برگشت جمعیت در شب‌هنگام به محل زندگی)، کاربری غالب (مسکونی) و تراکم بالای جمعیتی بیشترین میزان تلفات انسانی را به خود اختصاص داده است.

پیشنهادها

در این تحقیق به این نتیجه دست یافته‌یم که علاوه بر ویژگی‌های کالبدی بنا عوامل دیگری از جمله کاربری غالب، تراکم جمعیتی و زمان وقوع زلزله نقش مؤثری را در میزان تلفات انسانی این منطقه از کلان‌شهر اهواز ایفا می‌کند از این‌رو پیشنهاد می‌گردد:

- در زمینه تراکم جمعیتی به‌ویژه در نواحی یک، سه و چهار در طرح‌های شهری تجدید نظر صورت گیرد و تمهیداتی در نظر گرفته شود تا از تراکم بیشتر جمعیت در این نواحی جلوگیری شود.
- در طرح‌های تفصیلی آینده در کاربری‌های نواحی مختلف شهری تغییر صورت گیرد و کاربری‌ها به صورت مختلط پیشنهاد گردند نه غالب.

- شهرداری و نهادهای مسئول به ساکنان نواحی که ضریب نفوذپذیری معابر در آنها کم است بهویژه نواحی یک، سه و پنج مجوز سطح اشغال یا تراکم ساختمان پایین تری اعطاء کند.
 - افزایش مشارکت نهادها در زمینه کمک به نوسازی بافت‌های فرسوده و تشویق ساکنان نواحی این منطقه از طریق اعطاء وام با بهره کم.
 - پراکنش مناسب پایگاههای امدادرسانی جهت کمک سریع به مصدومان و کاهش تلفات انسانی بعد از وقوع زلزله در سطح نواحی مختلف.
- شكل (۶)، مراحل پیشنهادی کاهش تلفات انسانی در برابر زلزله شبانه در اهواز نشان داده است.



شكل ۶. عملیات کاهش تلفات انسانی ساختمان‌های شهری در برابر زلزله شبانه در اهواز

کتابنامه

ابراهیم‌زاده، عیسی؛ کاشفی دوست، دیمن؛ ۱۳۹۳. مدیریت بحران و مکان یابی بهینه پایگاههای اسکان موقت با استفاده از منطق فازی و مدل تحلیل شبکه ای (مطالعه موردی: شهر پیرانشهر). مجله جغرافیا و مخاطرات محیطی، شماره ۱۲، صص ۸۷ مشهد

- ابوئی اشکذری، علیرضا؛ ۱۳۹۱. مدیریت بحران زلزله با استفاده از سیستم‌های اطلاعات جغرافیایی GIS (نمونه موردی). استاد راهنمای کاظم رنگرن. پایان نامه کارشناسی ارشد دانشگاه شهید چمران اهواز.
- احبندزاد روشی، محسن؛ جلیل‌پور، شهناز؛ ۱۳۹۲. ارزیابی عوامل درونی تاثیرگذار در آسیب‌پذیری ساختمان‌های شهری در برابر زلزله با استفاده از GIS (نمونه موردی: بافت قدیم شهر خوی). فصلنامه آمایش محیط. شماره ۲۰. صص ۵۲-۲۳. اصفهان.
- اسفندیاری، فریبا؛ غفاری گیلانده، عطا و لطفی، خداداد؛ ۱۳۹۳. بررسی توان لرزه‌زایی گسل‌ها و برآورد تلفات انسانی ناشی از زلزله در مناطق شهری مطالعه موردی: شهر اردبیل. پژوهش‌های ژئومو Foley‌زی کمی. سال دوم. شماره ۴. صص ۳۶-۱۷. تهران.
- بزرافکن، شهرام؛ نظرپور دزکی، رضا؛ ۱۳۹۳. سنجش خطرپذیری ناشی از زلزله در مناطق نفت‌خیز جنوب با مدل «FAHP» جهت مدیریت بحران (مطالعه موردی: شهرستان مسجد سلیمان). اولین کنفرانس ملی جغرافیا، گردشگری. منابع طبیعی و توسعه پایدار. تهران.
- بمانیان، محمد رضا؛ رفیعیان، مجتبی؛ خالصی، محمد مهدی؛ بمانیان، رضا؛ ۱۳۹۱. کاهش خطرپذیری شهر از بلایای طبیعی (زلزله) از طریق برنامه‌ریزی کاربری زمین (مطالعه موردی: ناحیه ۵ منطقه ۳ تهران. دوفصلنامه مدیریت بحران. شماره دوم. صص ۱۵-۵. تهران
- رهنمایی، محمد تقی؛ محمدی ده چشممه، مصطفی؛ ۱۳۸۸. تحلیلی جغرافیایی بر نتایج اکولوژیکی ناشی از مهاجرت در شهر اهواز. مجله اطلاعات سیاسی - اقتصادی. شماره ۲۵۹ و ۲۶۰. صص ۲۹۷-۲۵۹. تهران.
- عرب‌اله فیروزجاه، علی؛ ۱۳۹۰. نقش طرح‌های توسعه شهری (جامع و تفصیلی) در کاهش آسیب‌پذیری شهر بابل از زلزله. استاد راهنمای ابوالفضل مشکینی. استاد مشاور: مهدی پورطاهری. پایان نامه کارشناسی ارشد رشته جغرافیا و برنامه‌ریزی شهری. دانشکده علوم انسانی دانشگاه تربیت مدرس. تهران.
- عزیزی، محمد‌مهدی؛ اکبری، رضا؛ ۱۳۸۷. ملاحظات شهرسازی در سنجش آسیب‌پذیری شهرها از زلزله، نشریه هنرهای زیبا. شماره ۳۴. صص ۳۶-۲۵.
- قدیری، محمود؛ رکن‌الدین افخاری، عبدالرضا؛ ۱۳۹۲. رابطه ساخت اجتماعی شهرها و میزان آسیب‌پذیری در برابر خطر زلزله (مطالعه موردی: محلات کلان‌شهر تهران). مجله جغرافیا و برنامه‌ریزی محیطی. سال ۲۴. شماره ۲. صص ۱۷۴-۱۵۳. اصفهان.
- کوهی، محمد؛ ۱۳۹۳. سیستم پشتیبان تصمیم‌گیری مکانی در مدیریت بحران طبیعی در بخشی از شهر سنتدج - استان کردستان. استاد راهنمای: دکتر کاظم رنگرن. پایان نامه کارشناسی ارشد سنجش از دور و GIS. دانشکده علوم زمین. دانشگاه شهید چمران اهواز.
- محمدی ده چشممه، مصطفی؛ ۱۳۹۲. اینمنی و پدافتاد غیرعامل شهری. انتشارات دانشگاه شهید چمران اهواز. چاپ اول. اهواز.
- مشکینی، ابوالفضل؛ قائد رحمتی، صفر؛ شعبان‌زاده نمینی، رضا؛ ۱۳۹۳. تحلیل آسیب‌پذیری بافت شهری در برابر زلزله (منطقه مورد مطالعه: منطقه دو شهرداری تهران). پژوهش‌های جغرافیای انسانی. دوره ۴. شماره ۴. صص ۸۵۶-۸۴۳. تهران.
- ملکی، سعید؛ مودت، الیاس؛ ۱۳۹۲. ارزیابی و رتبه‌بندی آسیب‌پذیری اجتماعی شهرها در برابر زلزله مدل‌های TOPSIS و GIS (مطالعه موردی: شهر یزد). مجله برنامه‌ریزی و آمایش فضای شهر ۳. شماره ۲. صص ۱۴۲-۱۲۷. تهران.

وطنی اسکوئی، اصغر؛ ۱۳۸۷. مدیریت بحران و روند ارزیابی ساختمان‌های آسیب دیده از زلزله. مجله فناوری و آموزش. سال سوم، شماره ۱. صص ۹-۲۴. تهران.

- Ahadnezhad R. M., 2010. Urban Social Vulnerability Assessment against Earthquakes, (Case Study: Zanjan). *Urban and Regional Studies*. Vol. 2, No. 7.
- Ahadnezhad Raveshti, M. M. Gharakhloo & K. Ziyari., 2010. modeling of the vulnerability of building cities for earthquakes using Analytic Hierarchy Process in GIS case study: Zanjan", *Journal of Geography and Development*, No. 19, Pp. 171-198.
- Chitsazan, M; F. Dehghani; F. Rast manesh & Y. Mirzaee., 2012. "municipal solid waste disposal site selection using fuzzy logic and spatial information technologies AHP Fuzzy-AHP (case study: R mormoz) ". *Journal of Remote Sensing and GIS in Natural Resource Sciences*, Vol. 4, No. 1, Pp.39-55.
- Coburn Andrew, Spence, Robin., 2002. *Earthquake Protection*, second edition John Wiley &son, Ltd.
- Consulting Engineers of Fajr, "distressed areas & empowerment of communities in Ahwaz: Lshkrabad, Alavi dormitory, dormitory Tourist", Project Director Mehran Alal hesabi, 2012.
- Ebert, A., Kerle, N., Stein, A., 2008. "Urban social vulnerability assessment with physical proxies and spsial metrics derived form air-and spaceborne imagery and gis data ". *Journal of Nathazards*, 48(2).
- FEMA., 2013. Cascadia Subduction Zone Earthquakes: A Magnitude 9.0 Earthquake Scenari. CREW PRESS.
- ISDR., 2008. The structure role and mandate of civil protection in disaster risk reduction for south eastern Europe.
- Karam, A. & N. Yaghoub Nezhad., "The use of fuzzy logic in assessing the suitability of land for the physical development of the city, Case Study: Karaj Metropolis", *Journal of Geography, new era*, Vol. 11, No. 36, Pp. 231-249, 2013. [In Persian]
- Lantada Nieves, Pujades Luis, Barbat, Alex., 2008. Vulnerability Index and Capacity Spectrum Based Method for Urban Seismic Risk Evaluation, *Journal of Nathazards*, DOI 10.1007/s11069-007-9212-4.
- Mansour Naimi, E., "Location of Temporary Settlement during Natural Disasters in Khuzestan-Ahvaz Zone One Using GIS and artificial Intelligence Algorithm ", Supervisor: K. Rangzan, Advisor: M. Kabolizadeh, Master thesis, Faculty of Earth and GIS, martyr University Chamran., 2014. [In Persian]
- Rahnama, A & M. Talee., 2012. "Prioritizing Tehran earthquake reconstruction in urban areas to help the fuzzy model & GIS". *Journal of Logistics Environment*. Volume 5, No. 16, Pp.51-74.
- Shibata Akenori., 2006. Estimation of earthquake damage to urban systems, *Structural and Control Health Monitoring*, 13:454° 47.
- UN Habitat., 2008. "Enhancing Urban Safety and Security: Global Report on Human Settlements ".
- Van den Berg, Leo., 2003. *The safe city: safety and urban development in European cities*, Ash gate publishing company.